

# بررسی نحوه‌ی شبیه‌سازی زمین‌لغزه‌ها به کمک روش اتومات سلولی (امور خاص: شیروانی کیلومتر ۳۲ بزرگراه جم - طاهری)

احمد فهیمی فر (استاد)

سمانه امیرپور (دانشجوی کارشناسی ارشد)  
دانشگاه مهندسی عمران و محیط زیست، دانشگاه صنعتی امیرکبیر

اتومات سلولی روشی توان‌مند برای شبیه‌سازی سیستم‌های طبیعی و مصنوعی است که به صورت اندرکنش اجزای تشکیل‌دهنده‌شان قابل بیان‌اند. بعضی از انواع زمین‌لغزه‌ها مانند جریان واریزه و بهمن واریزه‌ها به خوبی با این شبکه سازگارند و می‌توان آن‌ها را به صورت سیستم‌های دینامیکی تقسیم‌بندی‌به اجزای تشکیل‌دهنده و قابل توصیف به صورت اندرکنش بین این‌جا در نظر گرفت. هدف از این تحقیق ارائه‌ی مدلی برای شبیه‌سازی زمین‌لغزه‌ها براساس روش اتمات سلولی و به کمک کد MATLAB است. در این مدل ویژگی‌های زمین‌لغزه‌های پرسرعت و اثر پرخورد توده‌ها در نظر گرفته شده است. درستی عملکرد این مدل با شبیه‌سازی زمین‌لغزه‌ی جم - طاهری به صورت یک بعدی و دو بعدی مقایسه شده است. نتایج حاصله نشان می‌دهد که سطح لغزش شبیه‌سازی شده، انطباق نزدیکی با واقعیت دارد.

fahim@aut.ac.ir  
samaneh.amirpour@gmail.com

واژگان کلیدی: اتمات سلولی، زمین‌لغزه، جریان واریزه، MATLAB.

## مقدمه

(در نظر گرفتن پارامترهای کلی دیگری نیز برای شبیه‌سازی زمین‌لغزه‌ها ضروری است).<sup>[۱]</sup> برای اولین بار در سال ۱۹۹۹ مدل اتمات سلولی برای شبیه‌سازی زمین‌لغزه‌های جریانی با استفاده از مدل‌های محاسباتی ابتکاری برای تشخیص مسیر جریان واریزه‌ها(SCIDDICA)<sup>۲</sup> مورد استفاده قرار گرفت. مدل‌های ارائه شده‌ی SCIDDICA در ابتدا به‌طور موقوفیت‌آمیزی برای زمین‌لغزه‌ی کوهستان اوتاک<sup>۳</sup> ژان (۱۹۸۴) از نوع بهمن واریزه، و سیلان خاک در تیسیانای<sup>۴</sup> ایتالیا (۱۹۹۲) استفاده شد. سیلان خاک در تیسیانا به عنوان جریانی با سرعت نسبتاً کم و در حدود چند متر در روز مشخص شده است. این حرکت را می‌توان حرکتی صرفاً قائمی در نظر گرفت که با روش بنیادی «T» مدل شده است.<sup>[۵]</sup> روش «O» که برای زمین‌لغزه‌ی کوهستان اوتاک استفاده شد، نسبت به مدل بنیادی «T» توسعه یافته تر است.<sup>[۶]</sup> مجموعه‌ی موافق S<sub>۲</sub> SCIDDICA برای مدل‌کردن جریان واریزه با فرایش زیاد خاک در طول مسیر زمین‌لغزه معرفی شد. به‌این منظور مدل S<sub>۱</sub> SCIDDICA برای اولین بار برای شبیه‌سازی زمین‌لغزه‌ی ۱۹۹۸ سارزو<sup>۷</sup> با فرایش خاک در طول مسیر ارائه شد.<sup>[۷]</sup> تغییرات جزئی در مدل‌کردن فرایش خاک در طول مسیر زمین‌لغزه به ارائه‌ی مدل S<sub>۲</sub> SCIDDICA انجامید. در تمام مدل‌های ذکر شده محدوده‌ی زمین‌لغزه با سلول‌های مربعی شبکه‌بندی شده است.<sup>[۸]</sup> در مدل S<sub>۲</sub> SCIDDICA علاوه بر یک سری تغییرات در محاسبه‌ی فرایش خاک در طول مسیر، شبکه‌بندی نیز به صورت شش‌ضلعی صورت گرفته است.<sup>[۹]</sup>

مدل S<sub>۲</sub> SCIDDICA یک مدل دو بعدی با شبکه‌بندی شش‌ضلعی است که

تاریخ: دریافت ۱۳۸۷/۱۱/۲۱، اصلاحیه ۱۳۸۸/۸/۱۳، پذیرش ۷/۵/۱۳۸۹.

جدول ۱. لیست زیرووضعیت‌های استفاده شده در الگوریتم.

تعریف	زیر وضعیت
ارتفاع سلول (متر)	$Q_z$
ضخامت زمین‌لغزه (متر)	$Q_h$
عمق سنگ پوش قابل فرسایش (متر)	$Q_r$
جریان‌های خروجی زمین‌لغزه (متر)	$Q_o^v$
انرژی زمین‌لغزه (متر مربع)	$Q_E$
مؤلفه‌های گشتاور زمین‌لغزه در امتداد جهت‌های $x$ و $y$	$Q_{py}, Q_{px}$

مقیاس نقشه‌های در دسترس، خصوصیات ریخت‌شناسی منطقه‌ی مورد مطالعه، توپوگرافی منطقه‌ی تحت تأثیر و همچنین محدودیت‌های محاسباتی انتخاب شوند. به منظور ایجاد ماتریس‌های ورودی اطلاعات زیر مورد نیاز است:

- توپوگرافی قبل از وقوع زمین‌لغزه؛
- سرچشم‌های زمین‌لغزه از نظر موقعیت و گستردگی (محل شروع راش و گستردگی سطح برش در تاج لغزش)؛
- ضخامت سنگ‌پوش قابل فرسایش قبل از وقوع زمین‌لغزه.

این اطلاعات تأمین‌کننده‌ی مقادیر مربوط به زیرووضعیت‌های  $Q_r, Q_h, Q_z$  است. زیرووضعیت‌های باقی‌مانده ( $Q_{py}, Q_o, Q_E, Q_{px}$ ) در ابتدا صفر در نظر گرفته می‌شوند (سرعت لغزش خاک در  $g\text{m} \cdot s^{-1}$  = برابر صفر است).

$p_t$  نشان‌دهنده‌ی زمان متناسب در هر گام است. این مقادیر اگر بزرگ انتخاب شود باعث نقض قانون بقای جرم، و ایجاد خطای می‌شود؛ در نظر گرفتن مقداری کوچک برای این پارامتر باعث می‌شود که مقدار جریان‌های خروجی واریزه بین سلول‌ها بعد از چند مرحله بسیار کوچک باشد و سبب توقف زودهنگام شبیه‌سازی شود. اساساً این پارامتر بر سرعت اجرای شبیه‌سازی تأثیرگذار است به طوری که می‌تواند اجرای شبیه‌سازی را کند یا تند کند. بازه‌ی انتخابی در الگوریتم ارائه شده با توجه به این موارد و مشاهده‌ی نتایج شبیه‌سازی انتخاب شده است. همچنین از آن جا که پارامترهای  $p_{ref}$  و  $p_{pet}$  که در محاسبه‌ی فرسایش سنگ‌پوش کاربرد دارند پارامترهای تجربی آن، نمی‌توان آن‌ها را به طور مستقیم به دست آورد. به این منظور با توجه به خصوصیات کلی پدیده و مقادیر پارامترهای دیگر بازه‌ی را برای این گونه پارامترها در نظر می‌گیریم. سپس نتایج شبیه‌سازی انجام شده با مقادیر موجود در بازه را با رفتار پدیده‌ی اصلی مقایسه می‌کنیم. درنتیجه مقدار نهایی که برای این پارامترها در نظر گرفته می‌شوند، مقدار بهینه‌ی این پارامترها در بازه‌ی مورد نظر است که شبیه‌سازی بهتر پدیده را برای مدل ممکن می‌سازد. همان‌طور که وضعیت هر سلول می‌تواند بین زیرووضعیت‌ها تقسیم شود،تابع انتقال هم می‌تواند به چندین مرحله‌ی مقدماتی تقسیم شود. در الگوریتم ارائه شده تابع انتقال شامل مراحل مقدماتی زیر است:<sup>[۶]</sup>

۵۱: فرسایش سنگ‌پوش؛

۵۲: محاسبه‌ی کمینه‌سازی جریان خروجی واریزه؛

۵۳: پایستاری جرم انرژی و مومنتوم؛

۵۴: اتلاف انرژی.

مراحل مقدماتی، همسایگی هریک از سلول‌ها را درگیر می‌کنند. همسایگی CA توسط اجتماع سلول‌های همسایه‌ی که در هریک از مراحل شرکت می‌کنند، مشخص می‌شود. در این تحقیق همسایگی‌ها مطابق شکل ۱ تعریف شده است.<sup>[۷]</sup> توضیحات مربوط به مراحل مقدماتی در ادامه آورده شده است.

در آن اثرات اینرسی نیز در نظر گرفته شده و با توسعه‌ی فراینده‌ی مدل‌های ساده شده اولیه به دست آمده است.<sup>[۷]</sup> بعد از ارائه‌ی این مدل، موشکافی‌های بیشتر باعث به وجود آمدن مدل SCIDDICA S<sub>45</sub> شد که میین روشهای ساده‌تر برای محاسبه‌ی اثرات اینرسی است.<sup>[۸]</sup> در نهایت مدل SCIDDICA S<sub>45</sub> ارائه شد که در آن یکی دیگر از خصوصیات جریان‌های پرسرعت یعنی تأثیر برخورد توده‌ها نیز مدل سازی شده است.<sup>[۹]</sup>

با توجه به مدل‌های اتومات سلولی ذکر شده، برنامه‌ی رایانه‌ی به زبان برنامه‌نویسی MATLAB تهیه شد و صحبت عملکرد آن با مدل سازی زمین‌لغزه‌ی جم - طاهری (بهمن واریزه) به صورت یک بعدی و دوبعدی مورد بررسی قرار گرفت. زمین‌لغزه‌ی مورد نظر در این الگوریتم به صورت فرسایش سنگ‌پوش در طول مسیر زمین‌لغزه در نظر گرفته شده است. همچنین این الگوریتم قادر است تأثیرات اینرسی و برخورد توده‌ها را که در شبیه‌سازی زمین‌لغزه‌ها با سرعت بالا مؤثّن، مدل سازی کند. از آنجا که زمین‌لغزه‌ی انتخاب شده سرعت بالایی دارد، می‌توان تأثیر این دو عامل را در بهبود نتایج شبیه‌سازی به خوبی مشاهده کرد. در ادامه بخش‌های مختلف اتومات سلولی مورد استفاده در برنامه بیان شده است. سپس نتایج مدل سازی زمین‌لغزه‌ی جم - طاهری در سه حالت مختلف آورده شده و کارایی برنامه مورد بررسی قرار گرفته است.

## الگوریتم کلی اتومات سلولی مورد استفاده برای

### شبیه‌سازی زمین‌لغزه

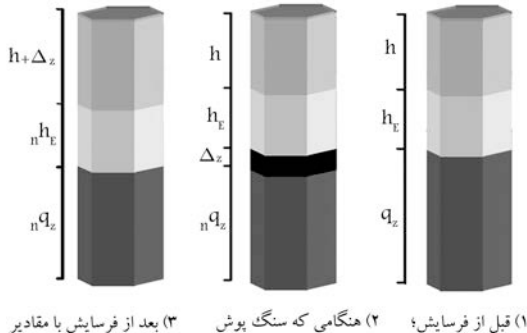
پدیده‌ی جریان سطحی، مثل جریان توده‌ی متراکم سنگ‌ها، در ابعاد بزرگی اتفاق می‌افتد.<sup>[۱۰]</sup> هنگام شبیه‌سازی این پدیده، ضروری است بین سیستم و توسعه‌ی آن از یک طرف، و مدل و شبیه‌سازی‌های آن از طرفی دیگر تمازن و ارتباط یک‌به‌یک تعريف کنیم. به این منظور منطقه‌ی محدودی را که پدیده در آن کامل می‌شود به کمک مجموعه‌ی از سلول‌های مرتعی (چهارضلعی) یا شش‌ضلعی شبکه‌بندی می‌کنیم. معمولاً شبکه‌بندی مرتعی برای مدل سازی‌های سریع مورد استفاده قرار می‌گیرد. بنابراین در فازهای ابتدایی توسعه و انتشار زمین‌لغزه، با در اولین تحلیل‌ها کاربرد دارد. از آن‌جا که در شبکه‌بندی شش‌ضلعی جهت‌های جریان بیشتری ممکن می‌شود، از دقت بالاتری نسبت به شبکه‌بندی مرتعی برخوردار است، و از آن هنگامی استفاده می‌شود که دقت بالایی مورد نیاز است.<sup>[۱۱]</sup> در این تحقیق از سلول‌های شش‌ضلعی در محدوده‌ی زمین‌لغزه استفاده شده است. وضعیت هر سلول باید تمام خصوصیات مفروض مربوط به تکامل سیستم را در برگیرد. هر مشخصه متناسب با یک زیرووضعیت است که مقادیر مجاز برای هر یک از این زیرووضعیت‌ها باید از مجموعه‌ی محدودی باشد. مجموعه‌ی وضعیت‌های ممکن هر سلول توسط سری کارتزین مجموعه‌ی از زیرووضعیت‌ها بیان می‌شود.<sup>[۱۲]</sup> لیست زیرووضعیت‌های مورد استفاده در این الگوریتم در جدول ۱ آورده شده است.

در ادامه، ابعاد سیستم و زمان متناسب با گام‌های CA نیز باید مشخص شود. این دو مقدار به عنوان پارامترهای کلی در نظر گرفته می‌شوند و مقادیر آن‌ها برای تمام سلول‌ها برابر است (پارامترهای کلی دیگری نیز معمولاً برای شبیه‌سازی ضروری است). از این پارامترها در تابع انتقال استفاده می‌شوند و لیست آنها در جدول ۲ آورده شده است.

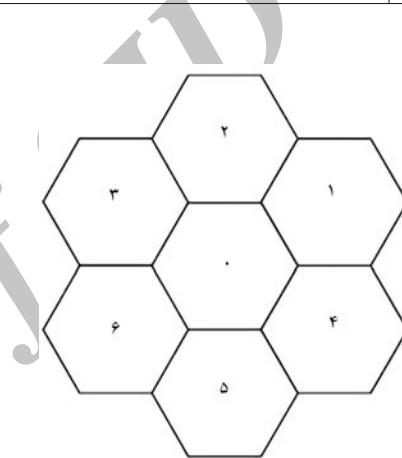
با درنظر گرفتن شکل اولیه CA مجموعه‌ی ماتریس‌های ورودی، مقادیر پارامترها نیز مورد نیاز است. جزئیات ماتریس ورودی و اندازه‌ی سلول‌ها باید با توجه کافی به

جدول ۲. لیست پارامترهای استفاده شده در الگوریتم.

پارامتر	تعریف
$p_t$	زمان مطابق با یک گام (ثانیه)
$p_c$	نصف فاصله‌ی بین مرکز دو سلول همسایه (متر)
$p_{dN}$	مربوط به اقلاف انرژی در هر گام (بدون بعد)
$p_{adh}$	چسبندگی، ضخامتی از واریزه است که نجی تواند سلول را ترک کند (متر)
$p_f$	آستانه‌یی برای جریان‌های خروجی واریزه (متر)
$p_{et}$	آستانه‌یی فعالیت برای فرسایش سنگپوش (متر مربع)
$p_{pef}$	ضریبی برای فرسایش تدریجی (متر مربع/۱)



شکل ۲. فرسایش سنگپوش.



شکل ۱. (۱) سلول مرکزی؛ (۲-۶) سلول‌های همسایه.

۵۴ (کمینه‌سازی جریان خروجی واریزه ۱): جریان خروجی از سلول مرکزی به سلول‌های همسایه با اعمال الگوریتم کمینه‌سازی تفاوت‌ها محاسبه می‌شود.<sup>[۱]</sup> این جریان‌های خروجی کمینه‌شده به‌منظور از بین‌بردن شرایط غیر متعادل در بافت همسایگی سلول‌ها و ایجاد شرایط متعادل هیدرولستاتیکی در هر گام محاسبات به کار می‌رود. به‌منظور تأکید بر این‌را برخورد توده‌ها و اینرسی در واریزه‌ها با سرعت بالا و بهمن‌ها، در این مرحله مقاومت مربوط به اندازه‌حربک واریزه در داخل سلول‌ها در نظر گرفته شده است. الگوریتم کمینه‌سازی عبارت است از: ابتدا به‌منظور در نظر گرفتن اصطکاک قبل از اعمال الگوریتم کمینه‌سازی، باید مورد زیر را کنترل کنیم:

$$u(\circ) + m - u(i) < p_f \quad (6)$$

به سلول مرکزی مقدار غیر قابل حرکت ( $u(\circ)$ ) و مقدار قابل توزیع  $m$  را نسبت می‌دهیم. این مقادیر چنین به دست می‌آیند:

$$m = q_h(\circ) - p_{adh} \quad (7)$$

$$u(\circ) = q_z(\circ) + p_{adh} + w(\circ) \quad (8)$$

محتوای سلول‌های همسایه ( $u(i)$ ) که غیر قابل توزیع‌اند مطابق

۵۱ (فرسایش سنگپوش): این مرحله به‌منظور محاسبه‌ی میزان فرسایش بخشی از سنگپوش در طول مسیر در نظر گرفته شده است. میزان فرسایش سنگپوش متناسب با انرژی توده‌ی متحرک است. به عبارت دیگر، با توجه به خصوصیات پویای واریزه در جریان، ممکن است مقدار متناسبی از سنگپوش فرسایش یابد و می‌توان آن را گام به گام شیبیه‌سازی کرد. هنگامی که انرژی واریزه ( $q_E$ )، بر آستانه‌ی در نظر گرفته شده ( $p_{et}$ ) غلبه کند و هد انرژی جنبشی بیشتر از صفر باشد، ممکن است فرسایش سنگپوش صورت بگیرد. مقدار عمق فرسایش یافته ( $\Delta z$ ) مطابق رابطه‌ی ۱ به دست می‌آید:

$$\Delta z = \min(q_r, q_E - p_{pef}) \quad (1)$$

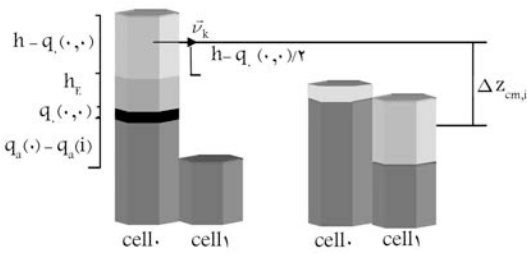
در غیر این صورت  $\Delta z = 0$ ، و سپس مقادیر  $q_E$ ,  $q_h$ ,  $q_r$ ,  $q_z$ ، چنین تغییر می‌کند (شکل ۲):

$$n q_z = q_z - \Delta z \quad (2)$$

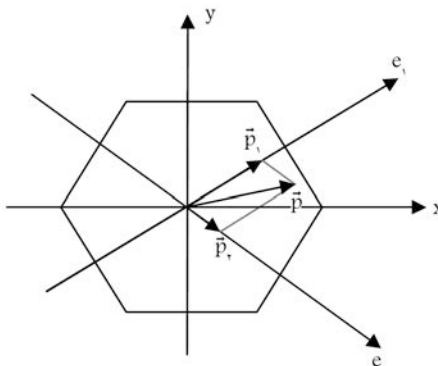
$$n q_r = q_r - \Delta z \quad (3)$$

$$n q_h = q_h + \Delta z \quad (4)$$

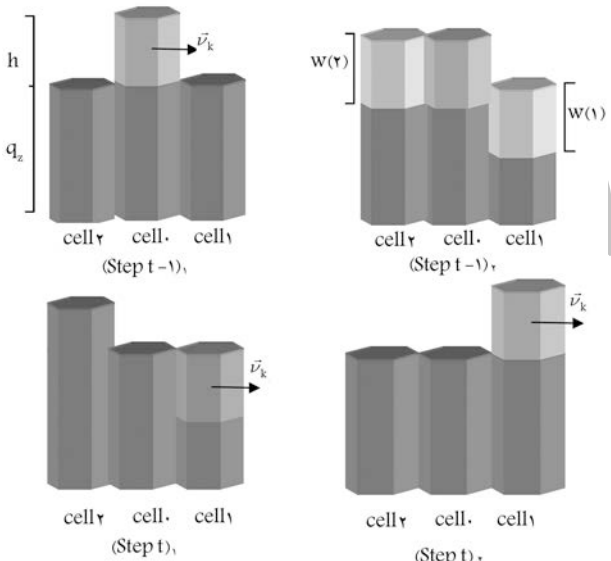
$$n q_E = q_E + \rho g A \Delta z (h + \frac{\Delta z}{2}) \quad (5)$$



شکل ۳. حرکت عمودی توده با سرعت شروع‌شونده ( $v_s$ ). در گام  $t+1$  توده در سلول همسایه بوده، با سرعت ورود  $v_a$ .



شکل ۴. بردار  $\vec{p}$  به صورت جمع دو بردار  $p_1$  و  $p_2$ ، که در امتداد  $e_1$  و  $e_2$  هستند، بیان می‌شود.



شکل ۵. تأثیر اینرسی در جابه‌جایی توده با ضخامت  $h$  و سرعت  $v_k$  در امتداد یک سطح.

فرمول‌های  $\vec{v}_{k1} = \frac{\vec{p}_1}{\rho Ah}$  و  $\vec{v}_{k2} = \frac{\vec{p}_2}{\rho Ah}$  به دست می‌آید. در نتیجه هد اینرسی جنبشی مرتبط با آنها به صورت  $v_{k1}/2g$  و  $v_{k2}/2g$  به دست می‌آید.

برای در نظر گرفتن تأثیر اینرسی مقدار  $w$  را به سلول‌های همسایه اضافه می‌کنیم (شکل ۵)، به طوری که ارتفاع سلول‌هایی که در راستای  $\vec{p}_1$  و  $\vec{p}_2$  هستند کاهش و ارتفاع سلول‌هایی که در خلاف راستای  $\vec{p}_1$  و  $\vec{p}_2$  هستند افزایش می‌یابد. ارتفاع بقیه‌ی

راطیه‌ی ۹ به دست می‌آیند.

$$u(i) = q_z(i) + q_h(i) + w(i) \quad (9)$$

نحوه‌ی به دست آوردن مقادیر  $u(i)$ ,  $w(i)$ , در ادامه آورده شده است.  
سلول‌های همسایه‌یی که شرط ۱ درمورد آن‌ها صدق نمی‌کند حذف می‌شوند.  
ارتفاع متوسط برای سلول‌های حذف‌شده چنین به دست می‌آید:

$$\text{average} = \frac{m + \sum u(i)}{A} \quad (10)$$

مجموع سلول‌های حذف‌شده است.  
سلول‌هایی که ارتفاع شان ( $u(i)$ ), بزرگ‌تر از ارتفاع متوسط باشد، از مجموعه‌ی  $A$  حذف می‌شوند.

مجددًا الگوریتم به مرحله‌ی ۵ بر می‌گردد تا زمانی که هیچ سلولی حذف نشود.  
مقدار جریان خروجی از سلول مرکزی به سلول‌های همسایه به صورت زیر به دست می‌آید.

$$q(i) = \text{average} - u(i) \quad (i \in A) \quad \text{اگر} \\ q(i) = 0 \quad \text{در غیر این صورت} \quad (11)$$

۵۴ (پایستاری جرم، اینرسی، گشتاور): بعد از تعیین جریان‌های خروجی کمینه‌شده، مقدار دقیق جریان‌های واریزه که می‌تواند بین سلول‌ها در یک گام محاسباتی حرکت کند محاسبه می‌شود. سپس مقدار جدید واریزه، اینرسی و گشتاور برای هر سلول محاسبه می‌شود:

$$f(\circ, i) = q_o(\circ, i) \frac{v(\circ, i)p_t}{2p_c} = q_o(\circ, i) \frac{\Delta s}{2p_c} \quad (12)$$

$\Delta s = v(\circ, i)p_t$  میزان جابه‌جایی جریان بین دو سلول است و  $2p_c$  بیشینه جابه‌جایی است که جریان می‌تواند در یک گام داشته باشد.  $v(\circ, i)$  سرعتی است که نامین جریان خروجی کمینه شده دارد و آن را به صورت میانگین سرعت شروع‌شونده ( $v_s$ ) و سرعت ورود جریان ( $v_a$ ) در نظر می‌گیریم.

$$v(\circ, i) = \frac{v_s + v_a}{2} \quad (13)$$

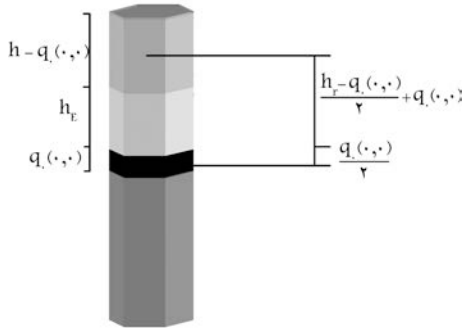
$$v_a = \sqrt{2g\Delta z_{cm,i}} \quad (14)$$

با توجه به شکل ۳ مقدار  $\Delta z_{cm,i}$  چنین به دست می‌آید.

$$\Delta z_{cm,i} = q_z(\circ) - q_z(i) + q_o(\circ, \circ) - h_E(\circ) \quad (15)$$

$$v_s = \frac{|\vec{p}|}{\rho Ah} \quad (16)$$

$\vec{p}$  جمع دو بردار  $p_1$  و  $p_2$  است که در شکل ۴ نشان داده شده است. هنگامی که جریان واریزه با سرعت زیاد را در نظر می‌گیریم، بعضی از جهت‌های مربوط به گشتاور واریزه،  $\vec{p}$ ، به منظور در نظر گرفتن خصوصیت اینرسی مقدم شمرده می‌شود. گشتاور را می‌توان به صورت مؤلفه‌های آن در یک سیستم مختصات قائم و با مبدأ در مرکز سلول بیان کرد. سرعت جریان به کمک فرمول  $\vec{v}_k = \vec{p}/\rho Ah$  و  $\vec{v}_k$  به دست می‌آید. به نوعی دیگر می‌توان بردار  $\vec{p}$  را به صورت جمع دو مؤلفه‌ی  $\vec{p}_1$  و  $\vec{p}_2$  در امتداد  $e_1$  و  $e_2$  در نظر گرفت. این جهت‌ها عمد بر ضلع دو سلول همسایه‌ی سلول مرکزی هستند. جهت‌های  $\vec{p}_1$  و  $\vec{p}_2$  معروف دو جهت مقدم در یک فضای سلولی شش ضلعی‌اند. سرعت‌های  $\vec{v}_{k1}$  و  $\vec{v}_{k2}$  در امتداد جهت‌های  $e_1$  و  $e_2$  توسط



شکل ۷. نحوه‌ی به دست آوردن  $z_{cm,h_r-q_o(\circ,\circ)}$  و  $z_{cm,q_o(\circ,\circ)}$

بعد از محاسبه‌ی  $(i, \circ)$ , وضعیت‌های هر سلول را به روز می‌کنیم. محتوای جدید واریزه در هر سلول چنین به دست می‌آید:

$$q_n = q_h + \sum_{i=1}^n (f(i, \circ) - f(\circ, i)) \quad (23)$$

انرژی جدید واریزه در هر سلول عبارت است از:

$$q_E = q_{E,h_r} + \sum_{i=1}^n q_{E,f(i, \circ)} \quad (24)$$

$q_{E,h_r}$  انرژی مربوط به واریزه باقیمانده در سلول و  $q_{E,f(i, \circ)}$  انرژی مربوط به جریان‌های واریزه ورودی است. روش محاسبه‌ی  $q_{E,h_r}$  عبارت است از:

$$q_{E,h_r} = \rho g A q_o(\circ, \circ) z_{cm,q_o(\circ,\circ)} + \rho g A (h_r - q_o(\circ, \circ)) z_{cm,h_r} - q_o(\circ, \circ) \quad (25)$$

$z_{cm,h_r-q_o(\circ,\circ)}$  ارتفاع مرکز نقل واریزه بدون حرکت،  $(\circ, \circ)$  و  $q_o(\circ, \circ)$  ارتفاع مرکز نقل واریزه متوجه است (شکل ۷). چنین محاسبه می‌شود:

$$q_{E,f(i, \circ)} = \rho g A f(i, \circ) z_{cm,f(i, \circ)} \quad (26)$$

$z_{cm,f(i, \circ)}$  ارتفاع مرکز نقل هریک از جریان‌های ورودی نسبت به ارتفاع سلول مرکزی است. سرعت هریک از جریان‌های ورودی به سلول مرکزی محاسبه می‌شود.

$$v_{kf(i, \circ)} = \sqrt{2g \Delta z_{cmf(i, \circ)}} \quad (27)$$

$\Delta z_{cmf(i, \circ)}$  اختلاف ارتفاع مرکز سطح جریان ورودی قبل و بعد از توزیع است.  $\sigma_4$  (اتلاف انرژی) در این مرحله اتفاق انرژی ناشی از اصطکاک در توده‌ی متوجه محاسبه می‌شود. در این قسمت اتفاق انرژی را متناسب با مؤلفه‌ی نرمال و زرن نسبت به زمین در نظر می‌گیریم. این سازوکار با به روز کردن سرعت چنین اعمال می‌شود:

$$v = v - p_{dN} h \quad (28)$$

## مطالعه‌ی موردی: زمین لغزه‌ی جم - طاهری

مسیر بزرگراه جم - بندر طاهری در کنار خلیج فارس منطقه‌ی به طول حدوداً ۳۵ کیلومتر پیش‌بینی شده که بسته به شرایط توپوگرافی شامل تونل‌های متعدد، پل‌های بزرگ و کوچک و احداث ترانشه‌های با افزار متوسط تا بلند است. بخش جنوبی

سلول‌ها بدون تغییر باقی می‌ماند. به این طریق الگوریتم کمینه‌سازی برای توزیع واریزه سلول‌هایی را مقدم در نظر می‌گیرد که ارتفاع شان کاهش یافته است. به این ترتیب تأثیر اینرسی در اوتومات سلولی لحاظ می‌شود. با اعمال الگوریتم کمینه‌سازی همراه با در نظر گرفتن شبیه‌فرضی، تمامی توده به سلول مجاور منتقل می‌شود.<sup>[۸]</sup> مقدار  $w$  ناشی از اینرسی سلول‌های همسایه در الگوریتم کمینه‌سازی در راستای  $e_1$  و  $e_2$  چنین به دست می‌آید:

$$w(i) = -h_k \quad (17)$$

(i) شاخص سلول همسایه در راستای  $\vec{p}_1$  است.

$$w(\forall - i) = h_{k\forall} \quad (18)$$

(ii) شاخص سلول همسایه در خلاف راستای  $\vec{p}_1$  است.

$$w(i) = -h_{k\forall} \quad (19)$$

(i) شاخص سلول همسایه در راستای  $\vec{p}_2$  است.

$$w(\forall - i) = h_{k\forall} \quad (20)$$

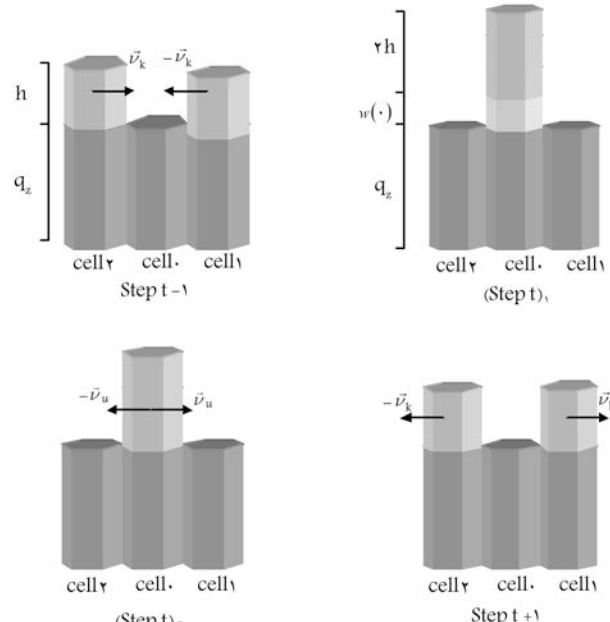
(ii) شاخص سلول همسایه در خلاف راستای  $\vec{p}_2$  است.

$$w(i) = w_{\forall - i} = 0 \quad (21)$$

(i) و (ii) شاخص سلول‌های همسایه در جهت‌های باقیمانده است.

هنگامی که جریان‌های واریزه از جهات مختلف به هم نزدیک می‌شوند (در فضای سلولی شش ضلعی زاویه‌ی بین این جهات  $\pi/3$  است)، تأثیر برخورد کشسان با در نظر گرفتن  $(\circ, \circ)$  (شکل ۶) به صورت رابطه‌ی ۲۲ محاسبه می‌شود:<sup>[۹]</sup>

$$w(\circ) = h_u = h_E - h_k \quad (22)$$



شکل ۶. برخورد دو توده با ضخامت  $h$  و سرعت  $v_k$  در جهت مخالف هم.

پنجه‌ی لغزش مورد بررسی در روی مسیر جاده و در باند برگشت قرار گرفته، که منجر به بالازدگی در حد چند متر در محدوده‌ی تراشه شده است. در تراشه‌ی کوتاه پائین دست مسیر و در کف رودخانه آثاری از جابه‌جایی و بالازدگی مشاهده نمی‌شود و درنتیجه می‌توان پنجه‌ی لغزش را به کف جاده محدود کرد.

### شبیه‌سازی زمین‌لغزه‌ی جم - طاهری بر پایه‌ی اتمامات سلولی (یک بعدی و دو بعدی)

در این قسمت با توجه به الگوریتم‌های ارائه شده برای شبیه‌سازی زمین‌لغزه‌ها، برنامه‌ی رایانه‌یی به زبان برنامه‌نویسی MATLAB تهیه شده است. برای شبیه‌سازی زمین‌لغزه‌ی جم - طاهری به صورت یک بعدی، در ابتدای برنامه ( $\text{Gam} = t$ ) مقادیر اولیه‌ی زیروضیعت‌ها به صورت ماتریس‌های  $29 \times 3$  (۲۹ سطر و ۳ ستون)، و نیز مقادیر پارامترهایی که در این الگوریتم استفاده شده‌اند به صورت ورودی به برنامه داده می‌شوند (شکل ۹).

در جدول ۳ مقادیر پارامترهای مربوط به زمین‌لغزه‌ی جم - طاهری، با توجه به فرمول‌های ارائه شده در جدول ۲، ارائه شده است. شکل ۱۰ مقطع شماتیک زمین‌لغزش جم - طاهری، مقطع ( $32+750$ ) را با توجه به مشاهدات صحرایی در منطقه نشان می‌دهد.

در ابتدای برنامه به منظور شبیه‌سازی یک بعدی تعداد  $68000$  گام برای شبیه‌سازی زمین‌لغزه در نظر گرفته شده است. اما بعد از اتمام تمامی گام‌ها باید بررسی شود که شبیه‌سازی به اتمام رسیده و مقادیر زیروضیعت‌ها در تمامی سلول‌ها ثابت و بدون تغییر باقی مانده است. مقایسه‌ی زمین‌لغزه‌ی واقعی و زمین‌لغزه‌ی شبیه‌سازی شده

جدول ۳. مقادیر پارامترهای استفاده شده به منظور شبیه‌سازی زمین‌لغزه‌ی جم-طاهری (یک بعدی).

مقدار بهینه	بازه‌ی مقادیر	پارامتر
۵	۵	$p_c$
$0,0001$	$[0,10,0001]$	$p_t$
$0,21$	$0,21$	$p_{dN}$
$3,84$	$3,84$	$p_{adh}$
$2,1$	$2,1$	$p_f$
$0,75$	$[0,37-0,75]$	$p_{et}$
$0,13$	$[0,13-0,27]$	$p_{pef}$



شکل ۸. محل شروع رانش (سرچشمی زمین‌لغزه در شبیه‌سازی).

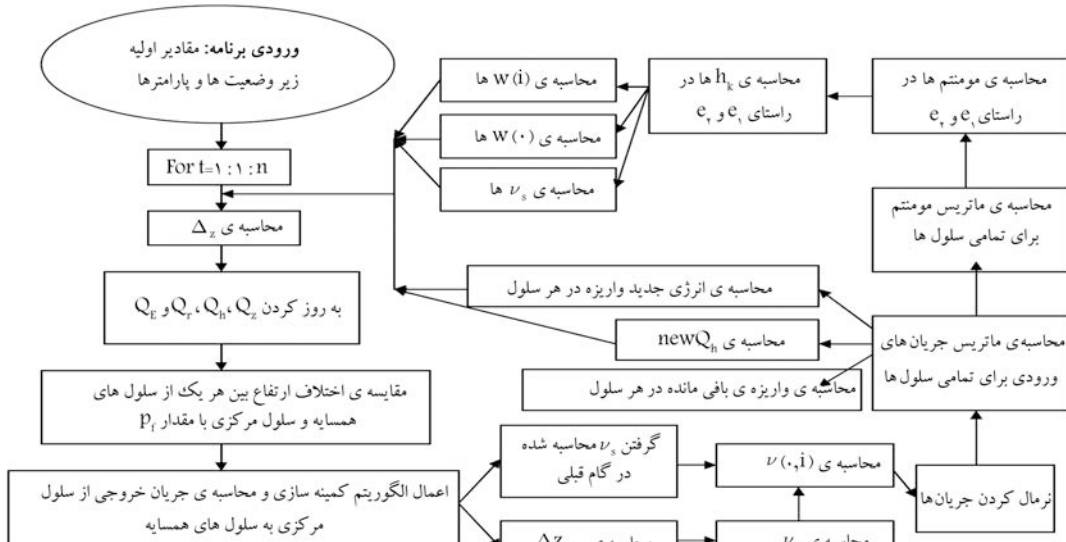
مسیر در شمال باند طاهری به ارتفاع حدود  $50$  متر از سطح دریا و بخش شمالی (منطقه جم) به ارتفاع  $70$  متر می‌رسد. مسیر آسفالتی موجود با عبور از گردنه‌ی پر پیچ و خم تا ارتفاع  $600$  گذشته و در نهایت به دشت وسیع جم می‌رسد.

محدوده‌ی مورد مطالعه در فاصله‌ی بین کیلومترهای  $32+850$  تا  $32+750$  و در موقعیت جغرافیایی ( $36^{\circ}41'00''$  و  $63^{\circ}14'31''$ ) واقع شده است. تراشه‌ی مورد نظر در  $5$  کیلومتری شهر طاهری واقع بوده و رودخانه طاهری نیز در کنار آن است که برای عبور از آن پل‌های دوگانه‌یی در هر دو خط رفت و برگشت ساخته شده است. ارتفاع تراشه‌ی تا کف جاده حدود  $90$  متر بوده و فاصله‌ی تاج آن تا محور جاده به بیش از  $120$  متر می‌رسد، لذا حجم این توده را می‌توان برابر با  $1/6$  میلیون متر مکعب برآورد کرد.

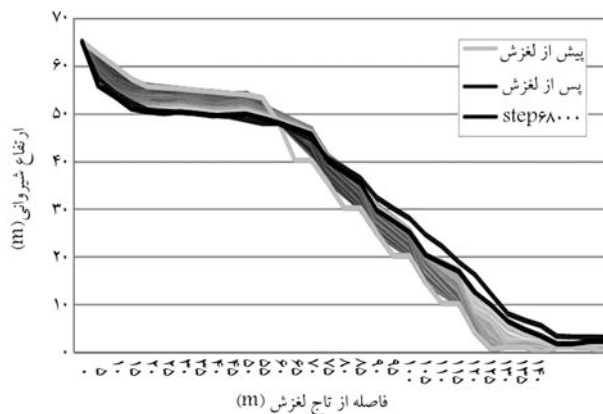
با عنایت به قرارگیری تراشه‌ی تحت بررسی در کنار رودخانه و احتمال لغزش سراسری آن که ممکن است منجر به حرکت لوله‌ی گاز با قطر  $56$  اینچ در کنار جاده، یا مسدودشدن رودخانه با توجه به حجم عظیم توده‌ی لغزنده شود، می‌توان به حساس بودن منطقه بی برد.

تحلیل لغزش براساس مشاهدات صحرایی: بعد از انجام عملیات خاکبرداری به منظور رسیدن به عرض و رقوم پروژه‌ی بزرگراه چهارخطه‌ی جم - باند طاهری، در محدوده‌ی کیلومتر  $32+750$  بر اثر بارندگی‌های سیلابی در منطقه، تراشه‌ی بالادست مسیر دچار لغزش شد، به طوری که کف جاده به همراه آسفالت نزدیک به  $2$  متر دچار بالازدگی شد. تراشه‌ی سنگ مارنی در توده‌ی سنگ مارنی در سازند می‌شان (به سین میوسن) قرار دارد. سازند می‌شان در این ناحیه، بیشتر از لایه‌های مارنی درست شده اما لایه‌های سخت تر مانند سنگ آهک مارنی یا ماسه سنگ و نیز چندلایه گچ‌سنگی نیز در آن وجود دارد که منجر به ایجاد نمای پلکانی بی‌نظم در دامنه شده است. با توجه به حساسیت بالای مارنی نسبت به آب، با رسیدن آب از طریق شکاف‌ها، در دامنه ناپایداری پدید آمده است. با توجه به مشاهدات صحرایی وقوع پدیده‌ی لغزش در محدوده‌ی مورد نظر شخیص داده شد. این لغزش در تاج از یک ترک کششی شروع می‌شود که بر اثر آن دو دیواره‌ی ترک نسبت به هم حدود  $6$  متر حرکت کرده‌اند. در بالادست این قسمت سنگ‌های آهکی مارنی با ظاهری مقاوم و بدون آسیب دیدگی با لایه‌بندی افقی قرار گرفته‌اند که هیچ‌گونه آثاری دال بر شروع رانش در آن‌ها دیده نمی‌شود؛ درنتیجه سطح پرش ذکر شده دورترین سطح گشیختگی در منطقه‌ی لغزیده است (شکل ۸). در پائین دست این سطح انبوهی از ترک‌های کششی و برشی با بازشدگی تا  $1/5$  متر دیده می‌شوند که بعضًا دارای عمقی تا  $10$  متر نیز هستند. این شکاف‌های کششی و برشی در توده‌ی لغزیده شرایط ناساعدی را به علت نفوذ جریان آب بر اثر بارندگی و ایجاد لغزش‌های دیگر فراهم آورده‌اند.





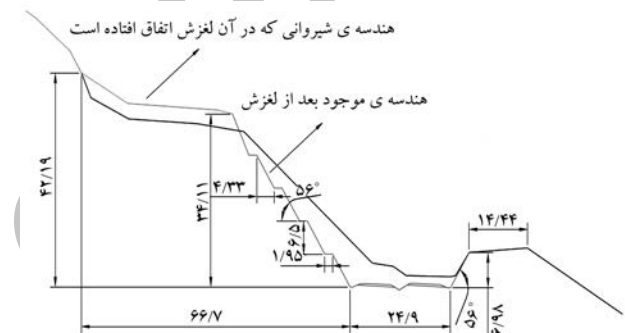
شکل ۹. الگوریتم برنامه‌ی تهیه شده برای شبیه‌سازی زمین‌لغزه‌ها.



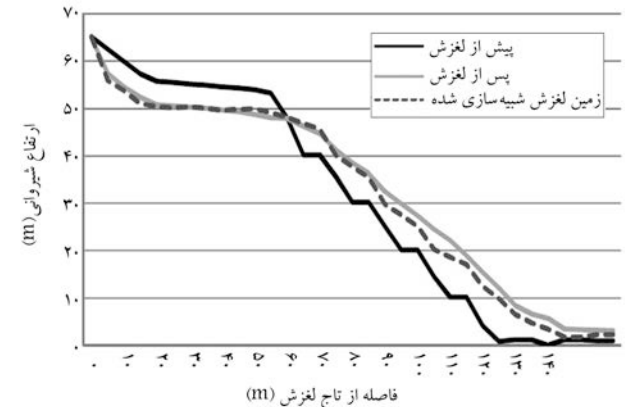
شکل ۱۲. نتایج حاصل از شبیه‌سازی زمین‌لغزه‌ی جم - طاهری در گام‌های مختلف.

زمین‌لغزه‌ی واقعی پیدا می‌کند، به طوری که در گام ۶۸۰۰۰ زمین‌لغزه‌ی شبیه‌سازی شده بیشترین شباهت را با زمین‌لغزه‌ی واقعی پیدا کرده است. در شبیه‌سازی دو بعدی مقادیر مربوط به ماتریس ورودی  $q_z$ ,  $q_h$  و  $q_r$  (پیش از لغزش) از مقطع‌های به دست آمده از نقشه‌ی توپوگرافی با مقیاس ۱:۲۰۰ استخراج شده و به صورت ماتریس  $29 \times 39$  سطر و ۳۹ ستون در الگوریتم اتونات سلولی وارد شده است. به علت عدم وجود اطلاعات کافی پس از لغزش، امکان مقایسه و کنترل نتایج حاصل از شبیه‌سازی زمین‌لغزه به صورت دو بعدی با زمین‌لغزه‌ی واقعی، تنها در مقطع محدودی امکان پذیر بوده است.

از آنجا که مقطع  $32+75^0$  در مرکز خرابی بوده و بیشترین میزان بالاگذگی را داشته است، در تحلیل یک بعدی این مقطع به عنوان مقطع منتخب در نظر گرفته شد. به همین دلیل، در ادامه به منظور مقایسه‌ی نتیجه‌ی شبیه‌سازی به صورت یک بعدی و دو بعدی تنها به آوردن نتایج شبیه‌سازی دو بعدی در مقطع  $32+75^0$  اکتفا می‌کنیم. نتایج حاصل از این شبیه‌سازی در شکل ۱۳ و جدول ۴ آورده شده است. مقایسه‌ی نتایج شبیه‌سازی به صورت یک بعدی و دو بعدی در شکل ۱۴ نشان داده شده است.



شکل ۱۰. مقطع شماتیک زمین لغزش جم - طاهری.



شکل ۱۱. مقایسه‌ی بین زمین‌لغزه‌ی شبیه‌سازی شده و زمین‌لغزه‌ی واقعی (یک بعدی).

به صورت یک بعدی در جدول ۴ و شکل ۱۱ آورده شده است. در ادامه، نتایج حاصل از شبیه‌سازی زمین‌لغزه‌ی جم-طاهری توسط برنامه‌ی تهیه شده به زبان MATLAB در گام‌های مختلف آورده شده است (شکل ۱۲). چنان که ملاحظه می‌شود، با کذشت زمان و افزایش تعداد گام‌ها نتایج حاصل از شبیه‌سازی تطابق بیشتری با

جدول ۴. مقایسه‌ی نتایج شبیه‌سازی مقطع ۳۲+۷۵۰ به صورت یک بعدی و دو بعدی.

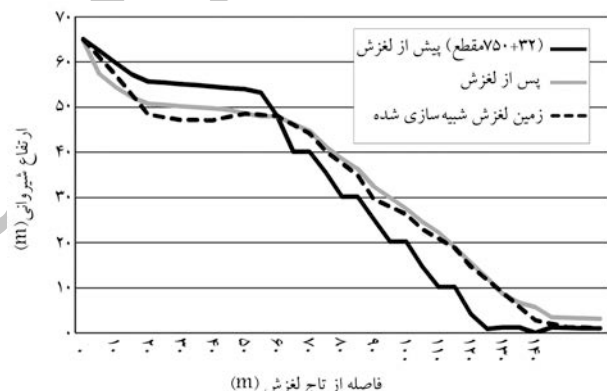
زمین لغزش شبیه‌سازی شده (متر)	زمین لغزه‌ی دو بعدی	زمین لغزه‌ی واقعی (متر)	ارتفاع شیروانی پیش از لغزش (متر)	فاصله از تاج لغزش (متر)	زمین لغزش شبیه‌سازی شده (متر)	زمین لغزه‌ی دو بعدی	زمین لغزه‌ی واقعی (متر)	ارتفاع شیروانی پیش از لغزش (متر)	فاصله از تاج لغزش (متر)
یک بعدی	دو بعدی	یک بعدی	دو بعدی	یک بعدی	دو بعدی	یک بعدی	دو بعدی	یک بعدی	دو بعدی
۲۴,۹۶۶	۲۵,۴۸۰	۳۶,۵۸۹	۳۰,۲۳۰	۷۵	۶۵,۱۴۰	۶۵,۱۴۰	۶۵,۱۴۰	۶۵,۱۴۰	۰
۲۹,۶۸۱	۲۹,۸۳۰	۳۲,۵۲۲	۲۵,۱۴۲	۸۰	۶۱,۱۴۵	۵۵,۹۰۰	۵۷,۳۹۰	۶۲,۵۲۹	۵
۲۶,۳۲۶	۲۵,۲۶۰	۲۸,۴۵۶	۲۰,۲۳۰	۸۵	۵۷,۱۵۰	۵۳,۷۱۰	۵۴,۴۹۹	۵۹,۹۱۸	۱۰
۲۲,۹۷۱	۲۰,۳۹۰	۲۴,۳۹۰	۱۴,۶۴۲	۹۰	۵۲,۷۸۰	۵۰,۹۸۰	۵۲,۳۲۰	۵۷,۳۰۷	۱۵
۱۸,۸۱۱	۱۷,۱۰۰	۲۰,۳۲۰	۱۰,۲۳۰	۹۵	۴۸,۴۱۰	۵۰,۴۳۰	۵۰,۸۴۰	۵۵,۷۸۰	۲۰
۱۴,۶۵۱	۱۲,۵۲۰	۱۶,۲۵۷	۱۴,۱۴۲	۱۰۰	۴۷,۸۴۰	۵۰,۰۹۰	۵۰,۵۷۰	۵۵,۴۸۹	۲۵
۱۱,۷۶۱	۹,۹۴۰	۱۲,۱۸۰	۰,۶۷۵	۱۰۵	۴۷,۲۷۰	۵۰,۴۹۰	۵۰,۳۰۷	۵۵,۱۹۹	۳۰
۸,۸۷۱	۶,۵۹۰	۸,۱۲۰	۱,۲۴۰	۱۱۰	۴۷,۲۲۱	۵۰,۱۰۰	۵۰,۰۳۸	۵۴,۹۰۸	۳۵
۵,۸۳۶	۴,۸۳۰	۶,۷۵۸	۱,۲۴۰	۱۱۵	۴۷,۱۷۰	۴۹,۶۰۰	۴۹,۷۶۹	۵۴,۶۱۸	۴۰
۲,۸۰۱	۳,۵۱۰	۵,۷۳۰	۰,۰۲۰	۱۲۰	۴۷,۹۰۰	۴۹,۸۵۰	۴۹,۴۲۳	۵۴,۳۲۷	۴۵
۱,۹۹۶	۱,۸۶۰	۳,۴۶۰	۱,۱۹۶	۱۲۵	۴۸,۶۳۰	۴۹,۹۷۰	۴۸,۷۴۳	۵۴,۰۳۷	۵۰
۱,۱۹۱	۱,۸۹۰	۳,۳۴۰	۱,۱۸۶	۱۳۰	۴۸,۳۸۵	۴۹,۱۲۰	۴۸,۰۶۲	۵۳,۲۸۸	۵۵
۱,۰۱۰	۲,۳۳۰	۳,۲۵۰	۱,۰۱۰	۱۳۵	۴۸,۱۴۰	۴۸,۱۶۰	۴۷,۹۹۴	۴۸,۱۱۳	۶۰
۰	۲,۳۴۰	۳,۱۶۰	۰	۱۴۰	۴۴,۱۹۵	۴۵,۷۳۰	۴۴,۷۲۱	۴۰,۲۳۰	۶۵
					۴۰,۲۵۱	۴۰,۱۰۰	۴۰,۶۵۵	۳۵,۶۴۲	۷۰

### بررسی مراحل مختلف الگوریتم اتومات سلولی استفاده شده در بهبود نتایج شبیه‌سازی

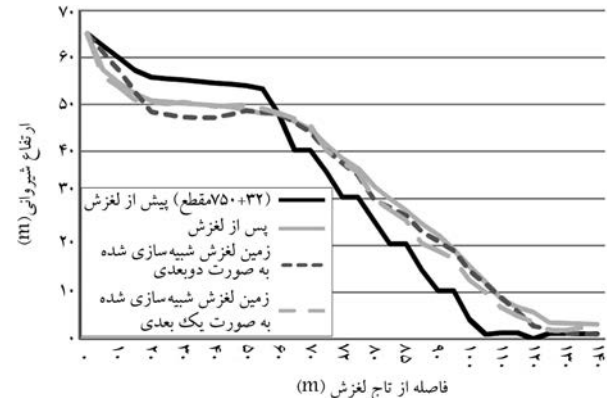
تأثیر اینرسی بر توده‌یی که با سرعت  $\dot{w}$  در حرکت است با اضافه کردن دو مقدار ( $w_1$ ) و ( $w_2$ ) و ایجاد یک شبیه فرضی صورت می‌گیرد. به این ترتیب در الگوریتم شرایط نامتعادل هیدروستاتیکی ایجاد می‌شود، که با انتقال کل توده به سلول مجاور بر طرف می‌شود. اگر این شبیه فرضی در نظر گرفته نشود الگوریتم کمینه‌سازی مقداری از توده را در سلول مرکزی نگه داشته و تأثیر اینرسی شبیه‌سازی نخواهد شد. به این ترتیب با حذف مقادیر ( $w_1$ ) و ( $w_2$ ) در الگوریتم ( $i$ ) باز استفاده شده می‌توان نتایج حاصل از شبیه‌سازی را بدون در نظر گرفتن اثر اینرسی مشاهده کرد. همچنین به منظور اعمال تأثیر برخورد جریان‌ها، ارتفاع سلول‌های مرکزی توسعه مقدار ( $w_0$ ) افزایش می‌آید. می‌توان با حذف این مقدار از الگوریتم تأثیر برخورد جریان‌ها را در بهبود نتایج شبیه‌سازی مشاهده کرد. برنامه‌ی تهیه شده این قابلیت را دارد که بتوان بدون آنکه به کل الگوریتم و فرایند شبیه‌سازی لطمی‌یی وارد شود، مراحل فوق را حذف کرد و نتایج را مشاهده کرد. به این ترتیب نتایج شبیه‌سازی در سه حالت مختلف مورد بررسی قرار می‌گیرد:

۱. فقط با در نظر گرفتن فرسایش سنگپوش (بدون در نظر گرفتن اثر اینرسی). ( $i$ ) ( $w_0$ ) و برخورد جریان‌ها.
۲. با در نظر گرفتن فرسایش سنگپوش و تأثیر اینرسی، ( $i$ ) ( $w_0$ ) ( $w_1$ ) (بدون در نظر گرفتن تأثیر برخورد جریان‌ها).
۳. با در نظر گرفتن فرسایش سنگپوش، تأثیر اینرسی، ( $i$ ) ( $w_0$ ) ( $w_1$ ) و برخورد جریان‌ها.

نتایج حاصل از شبیه‌سازی زمین‌لغزه در حالتی که فقط فرسایش سنگپوش در نظر گرفته شده، در جدول ۵ آورده شده است.



شکل ۱۳. مقایسه‌ی بین زمین‌لغزه‌ی شبیه‌سازی شده به صورت دو بعدی و زمین‌لغزه‌ی واقعی (مقطع ۳۲+۷۵۰+۳۳).



شکل ۱۴. مقایسه‌ی بین زمین‌لغزه‌ی شبیه‌سازی شده به صورت یک بعدی و دو بعدی (مقطع ۳۲+۷۵۰).

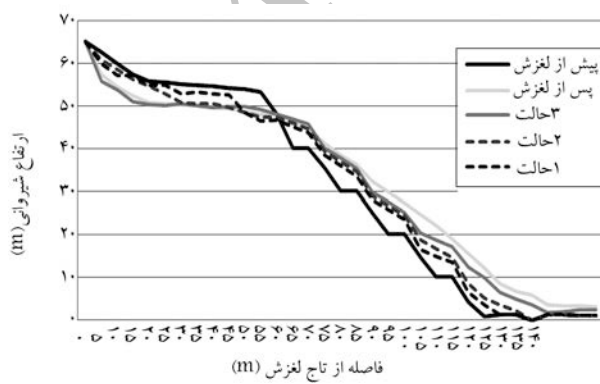
جدول ۵. سطح لغزش‌های شبیه‌سازی شده در سه حالت مختلف.

زمین لغزش شبیه‌سازی شده (متر)			ارتفاع شیروانی پیش از لغزش (متر)	فاصله از تاج لغزش (متر)	زمین لغزش شبیه‌سازی شده (متر)			ارتفاع شیروانی پیش از لغزش (متر)	فاصله از تاج لغزش (متر)
حالت ۳	حالت ۲	حالت ۱			حالت ۳	حالت ۲	حالت ۱		
۳۵,۴۸۰	۳۴,۶۰۰	۳۳,۶۶۰	۳۶,۵۸۹	۳۰,۲۳۰	۷۵	۶۵,۱۴۰	۶۵,۱۴۰	۶۵,۱۴۰	۶۵,۱۴۰
۲۹,۸۳۰	۲۸,۹۹۰	۲۸,۱۶۰	۳۲,۵۲۲	۲۵,۱۴۲	۸۰	۵۵,۹۰۰	۶۰,۸۷۰	۶۰,۰۱۰	۵۷,۳۹۰
۲۵,۲۶۰	۲۴,۵۷۰	۲۳,۶۱۰	۲۸,۴۵۶	۲۰,۲۳۰	۸۵	۵۳,۷۱۰	۵۸,۶۱۰	۵۷,۱۳۰	۵۴,۵۴۹
۲۰,۳۹۰	۱۸,۸۵۰	۱۶,۴۲۰	۲۲,۳۹۰	۱۴,۶۴۲	۹۰	۵۰,۹۸۰	۵۶,۳۸۰	۵۷,۱۳۰	۵۲,۳۲۰
۱۷,۱۰۰	۱۴,۰۹۰	۱۳,۵۸۰	۲۰,۳۲۰	۱۰,۲۳۰	۹۵	۵۰,۴۳۰	۵۴,۶۰۰	۵۵,۰۱۰	۵۰,۸۴۰
۱۲,۰۳۰	۸,۴۷۰	۶,۵۸۰	۱۶,۲۵۷	۱۴,۱۴۲	۱۰۰	۵۰,۰۹۰	۵۲,۸۲۰	۵۵,۰۱۰	۵۰,۵۷۰
۹,۹۴۰	۵,۱۱۰	۳,۵۹۰	۱۲,۱۸۰	۰,۶۷۵	۱۰۵	۵۰,۴۹۰	۵۰,۸۰۰	۵۲,۸۹۰	۵۰,۳۰۷
۶,۰۹۰	۳,۵۷۰	۱,۲۴۰	۸,۱۲۰	۱,۲۴۰	۱۱۰	۵۰,۱۰۰	۵۰,۷۰۰	۵۳,۲۷۰	۵۰,۰۳۸
۴,۸۳۰	۲,۱۲۰	۱,۲۴۰	۶,۷۵۸	۱,۲۴۰	۱۱۵	۴۹,۶۰۰	۵۰,۶۱۰	۵۲,۹۶۰	۴۹,۷۶۹
۳,۵۱۰	۰,۰۲۰	۰,۰۲۰	۵,۷۳۰	۰,۰۲۰	۱۲۰	۴۹,۸۵۰	۴۹,۶۲۰	۵۲,۶۵۰	۴۹,۴۲۳
۱,۸۶۰	۱,۱۹۶	۱,۱۹۶	۳,۴۶۰	۱,۱۹۶	۱۲۵	۴۹,۹۷۰	۴۸,۴۹۰	۴۸,۶۱۰	۴۸,۷۴۳
۱,۸۹۰	۱,۱۸۶	۱,۱۸۶	۳,۳۴۰	۱,۱۸۶	۱۳۰	۴۹,۱۲۰	۴۷,۵۰۰	۴۶,۴۹۰	۴۸,۰۶۲
۲,۳۳۰	۱,۰۱۰	۱,۰۱۰	۳,۲۵۰	۱,۰۱۰	۱۳۵	۴۸,۱۶۰	۴۷,۴۵۰	۴۶,۶۲۰	۴۷,۹۹۴
۲,۳۴۰	۰	۰	۳,۱۶۰	۰	۱۴۰	۴۵,۷۲۰	۴۴,۶۴۰	۴۳,۷۳۰	۴۴,۷۲۱
						۴۰,۱۰۰	۳۹,۴۸۰	۳۸,۶۵۰	۴۰,۶۵۵
									۳۵,۶۴۲
									۷۰

ماتریس‌ها و زیروضعیت‌های جداگانه به برنامه داد. سپس با مشاهده نتایج شبیه‌سازی همراه با فعالیت‌های مهندسی، یا بدون آن، می‌توان تأثیرات این فعالیت‌ها را مشاهده کرد و در مرور پایدارسازی شیروانی مربوطه تصمیم‌گیری کرد. شبیه‌سازی زمین لغزه‌ها بهکمک روش اتومات سلولی احتیاج به وجود اطلاعات میدانی معتبر، دقیق و جامع دارد. از آنجا که در ایران بانک اطلاعاتی مناسبی از زمین لغزه‌های بهوقوع پیوسته وجود ندارد، همواره تقریب‌هایی در روند (مقادیر پارامترها و زیروضعیت‌ها) و نتایج تحقیق مشاهده می‌شود. درنتیجه اختلاف بین نتایج زمین لغزه‌های شبیه‌سازی شده و سطح لغزش‌های واقعی را تا حدودی می‌توان ناشی از عدم داشتن اطلاعات کافی و مناسب در مرور زمین لغزه‌ها دانست.

در حالت دوم، علاوه بر فرایند سنگپوش تأثیر اینرسی نیز در نظر گرفته می‌شود. از آنجا که سرعت حرکت توده در حین لغزش بسیار سریع بوده، در نظر گرفتن تأثیر اینرسی برای شبیه‌سازی لغزش عامل بسیار مهمی است که می‌تواند تأثیر زیادی در بهبود نتایج شبیه‌سازی داشته باشد. تأثیر اینرسی با اضافه کردن (i) به (ii)ها در الگوریتم کمینه‌سازی وارد می‌شود. نتایج حاصل از این شبیه‌سازی در جدول ۵ آمده است.

در حالت سوم تأثیر برخورد توده‌ها در سلول‌ها نیز در الگوریتم در نظر گرفته شده است. به این منظور مقدار (w) به (w) مربوط به سلول مرکزی در الگوریتم کمینه‌سازی اضافه شده است. نتایج شبیه‌سازی در حالت سوم نیز در جدول ۵ نشان داده شده است.



شکل ۱۵. مقایسه‌ی بین زمین لغزه‌ی شبیه‌سازی شده به صورت یک بعدی و دو بعدی (قطعه ۷۵۰+۳۲).

### نتیجه‌گیری

شبیه‌سازی زمین لغزه‌ها به روش اتومات سلولی کاربردهای مختلف دارد که در ادامه به چند مورد آن اشاره می‌شود:

- پیش‌بینی مناطقی که مستعد لغزش‌اند و مشخص کردن مناطق با احتمال وقوع و پتانسیل خطر بالا و پنهان‌بندی خطر زمین لغزه در مناطق مختلف.
- امکان دنبال‌کردن و مشاهده پیشرفت زمین لغزه و پیش‌بینی سیر تکامل و گستردگی آن.

به‌کمک اتومات سلولی می‌توان نتایج فعالیت‌های مختلف مهندسی را که به‌منظور پایدارسازی شیروانی‌ها به‌کار می‌رود مشاهده کرد. این تغییرات را می‌توان به صورت

به خصوص در نقاط ابتدایی و انتهایی -- بسیار مؤثر بوده است. با مشاهده نتایج می توان بی برد که عدم در نظر گرفتن موارد فوق در شبیه سازی زمین لغزه ها با سرعت بالا می تواند سبب اختلاف زیاد بین زمین لغزه هی شبیه سازی شده و زمین لغزه هی واقعی شود. در شبیه سازی زمین لغزه هی جم - طاهری به صورت دو بعدی اثر فاکتورهای فوق بسیار محسوس تر بوده، به طوری که در شبیه سازی نمی توان از آن ها صرف نظر کرد. از آنجا که تأثیرات اینرسی و برخورد توده ها در زمین لغزه هایی با سرعت بالا قابل توجه بوده و معنی دار می شود، در زمین هایی با سرعت متوسط یا کم -- بسته به نوع زمین لغزه -- می توان آن ها را نادیده گرفت و در روند شبیه سازی وارد نکرد.

نتایج شبیه سازی در مقطع ۳۲+۷۵ به صورت یک بعدی و دو بعدی رضایت بخش بوده و در هر دو حالت تطابق قابل قبولی با زمین لغزه هی واقعی داشته است. در نقاط ابتدایی نتایج شبیه سازی یک بعدی اختلاف کمتری با نمونه هی واقعی آن دارد و در نقاط انتهایی نتایج شبیه سازی دو بعدی به نمونه هی واقعی نزدیک تر است. اما مجموعاً در صورت وجود اطلاعات دقیق و کامل از خصوصیات زمین لغزه می توان نتایج دقیق تری را از شبیه سازی دو بعدی انتظار داشت. همچنین، همان طور که در شکل ۱۵ مشاهده شد، در نظر گرفتن اثر اینرسی و برخورد توده ها در نتایج شبیه سازی زمین لغزه هی جم - طاهری به صورت یک بعدی --

## پانوشت

1. Cellular Automata (CA)
2. debris flow
3. substrate
4. simulation through computational innovative methods for the detection of debris flow path using interactive Cellular Automata
5. Ontake
6. Tessina
7. Sarno

## منابع

1. Mitchel, M., *Computation in Cellular Automata: A Selected Review*, Technical Report, Santa Fe Institute, New Mexico, USA, (1996).
2. D'Ambrosio, D.; Di Gregorio, S. and Iovine, G. "Simulating debris flows through a hexagonal Cellular Automata model: Sciddica S<sub>3</sub>-hex", *Natural Hazards and Earth System Sciences*, **3**, pp. 545-559 (2003).
3. Avolio, M.V.; Di Gregorio, S. and Mantovani, F. "Simulation of the 1992 Tessina landslide by a Cellular Automata model and future hazard scenarios", *JAG. Journal of Applied Earth Observation and Geoinformation*, **2**(1), pp. 41-50 (2000).
4. Di Gregorio, S.; Rongo, R. and Siciliano, C. "Mount Ontake landslide simulation by the Cellular Automata model Sciddica-3", *Physics and Chemistry of the Earth*, **24**(2), pp. 131-137 (1999).
5. D'Ambrosio, D.; Di Gregorio, S. and Iovine, G. "First simulation of the Sarno debris flows through Cellular Automata modeling", *Geomorphology*, **54**, pp. 91-117 (2003).
6. D'Ambrosio, D.; Di Gregorio, S. and Iovine, G. "Simulating the Curti-Sarno debris flow through cellular automata: The model Sciddica (release S2)", *Physics and Chemistry of the Earth*, **27**, pp. 1577-1585 (2002).
7. Iovine, G.; D'Ambrosio, D. and Di Gregorio, S. "Parallel genetic algorithms for calibrating a hexagonal model for the simulation of debris flows characterized by strong inertial", *Geomorphology*, **66**, pp. 287-303 (2005).
8. D'Ambrosio, D.; Spataro, W. and Di Gregorio, S. "Parallel genetic algorithms for optimizing cellular automata models of natural complex phenomena: An application to debris-flows", *Computers and Geosciences*, **32**(7), pp. 861-877 (2005).
9. D'Ambrosio, D. and Iovine, G. "A microscopic collision model for debris-flow simulation", *Environmental modeling and software*, **22**, pp. 1417-1436 (2007).
10. Wolfram, S. "Computation theory of Cellular Automata", *Communication in mathematical Physics*, **96**, pp. 15-57 (1984).
11. Takahashi, T., *Debris Flow*, A.A. Balkema, Rotterdam: Brookfeild (1991).